

# تعیین موقعیت تنش دیرین بر پایه مطالعه ناپیوستگی‌ها و چین‌خوردگی‌های موجود در پهنه برخوردي زاگرس-مطالعه موردي منطقه کرمانشاه

سپیده رضابیکا<sup>۱</sup>، عبدالله سعیدی<sup>۲\*</sup>، مهران آرین<sup>۳</sup> و علی سربی<sup>۴</sup>

۱. دانشجوی دکترا، گروه زمین‌شناسی، دانشکده علوم پایه، دانشگاه آزاد اسلامی، واحد علوم و تحقیقات  
تهران، ایران

۲. استادیار، پژوهشکده علوم زمین، سازمان زمین‌شناسی و اکتشافات معدنی کشور، تهران، ایران

۳. استاد، گروه علوم زمین، دانشکده علوم پایه، دانشگاه آزاد اسلامی، واحد علوم و تحقیقات تهران، ایران

۴. استادیار، گروه زمین‌شناسی، دانشگاه آزاد اسلامی، واحد کرج، البرز، ایران

تاریخ دریافت: ۹۹/۰۱/۱۷

تاریخ پذیرش: ۹۹/۰۴/۲۹

## چکیده

پهنه مورد مطالعه در بخش شمالی پهنه برخوردي زاگرس واقع شده است. وجود واحدهای از نهشته‌های ژرف بستر اقیانوس، افیولیت‌ها و سنگ‌های رسوبی کربناته زاگرس چین خورده در کناره‌م نشان‌دهنده یک سیستم تکتونیکی فشارشی از کرتاسه پسین تا زمان کنونی است. در نتیجه این همگرایی، زمین ساخت و ساختارهای پیچیده‌ای در این پهنه به وجود آورده است. هدف اصلی این پژوهش، تحلیل و تعیین موقعیت تنش در پهنه ساختاری زاگرس (کرمانشاه) است. برای شناخت و بررسی آرایش محورهای تنش، برداشت‌های ساختاری به روش مستقیم صحرایی صورت گرفته است. برداشت‌ها شامل صفحات گسلی، سطوح لغزش گسلی، درزهای هم یوگ و سطح محوری چین خوردگی‌ها هستند. الگوهای ثبت تنش در این پژوهش برای داده‌ها روش وارون‌سازی و مقایسه آن با موقعیت تنش با کمک سطح محوری چین‌ها است. براساس تعیین موقعیت تنش و روندهای کوتاه‌شدنی ناشی از فشردنی بر روی ساختارهای موجود در گستره تنها یک مرحله دگر شکلی به دست آمد. با استفاده از روش وارون‌سازی موقعیت تنش‌های اصلی<sup>۱</sup>، <sup>۲</sup> و <sup>۳</sup> در گستره مورد پژوهش به ترتیب <sup>۰۵۹</sup>، <sup>۰۴۰</sup> و <sup>۰۲۹</sup> و با کمک چین‌ها <sup>۱۲۷</sup>، <sup>۱۹۴</sup> و <sup>۲۳۴</sup> بدست آمده است. برایه بررسی‌های انجام شده در منطقه مورد پژوهش و اندازه‌گیری‌های انجام شده بر روی سنگ‌های به سن کرتاسه و نتایج نشان می‌دهند که جهت تنش اصلی حداقل از زمان کرتاسه تاکنون با تغییرات نه چندان زیادی رو به شمال شرقی بوده است. برآورد جهت تنش هم در چین‌ها و هم در گسل‌ها کم‌ویش یکسان بوده است. در نتیجه جهت کوتاه‌شدنی ثابت بوده است بنابراین گسل‌های منتبه به کوتاه شدنی همگی یک جهت تنش را نشان می‌دهند.

واژه‌ای کلیدی: چین خوردگی، تحلیل خش لغزهای گسلی، تنش، روش وارونه سازی چند مرتبه‌ای، کرمانشاه.

## مقدمه

فرا دیواره گسل‌های راندگی متواالی نسبت به یکدیگر سبب تشکیل درزهای و گسل‌های مزدوج<sup>۱</sup> بسیاری شده است. در مجموعه رادیولاریتی کرمانشاه، شواهدی ناشی از گسلش گوناگون وجود دارد، ولی به دلیل به سطح نرسیدن آنها قابل شناسایی نیست (گسل‌های کور<sup>۲</sup>، بربیان، ۱۹۹۵).

در شکل (الف و ب) ایستگاههای مورد بررسی مقایسه جهت تنفس‌هادر چین‌ها و گسل‌های برداشت شده روی نقشه ۱: زمین‌شناسی گستره کرمانشاه نمایش داده شده است.

داده‌های زمین‌شناسی سراسری و منطقه‌ای نشان می‌دهد که بخش بیشتر ناحیه مورد پژوهش حوضه رسوبی- ساختاری زاگرس و گوشه شمال شرقی آن ویژگی‌های زمین‌شناسی پهنه سنتندج-سیرجان را دارد (شکل ۱). در نتیجه گستره استان را می‌توان به دو زیر‌پهنه جدا تقسیم کرد که مرز بین آن‌ها با گسل‌های جوان و لرزه‌ای مروارید و صحنه مشخص می‌شود:

الف- سنتندج-سیرجان-گوشه شمال شرقی گستره مورد پژوهش بخش ناچیزی از پهنه دگرگون شده سنتندج-سیرجان است که به وسیله یکی از گسل‌های جوان و لرزه زای زاگرس (گسل‌های مروارید-صحنه) از سایر قسمت‌های استان جدا شده است. در این پهنه رخمنونهای سنگی شامل دگرگونهای مزوژوئیک (مجموعه ولکانیکی-آهکی سنقر) و اوایل سنوزوئیک هستند و به دلیل عملکرد تنفس‌های فشارشی ساختار پیچیده دارند.

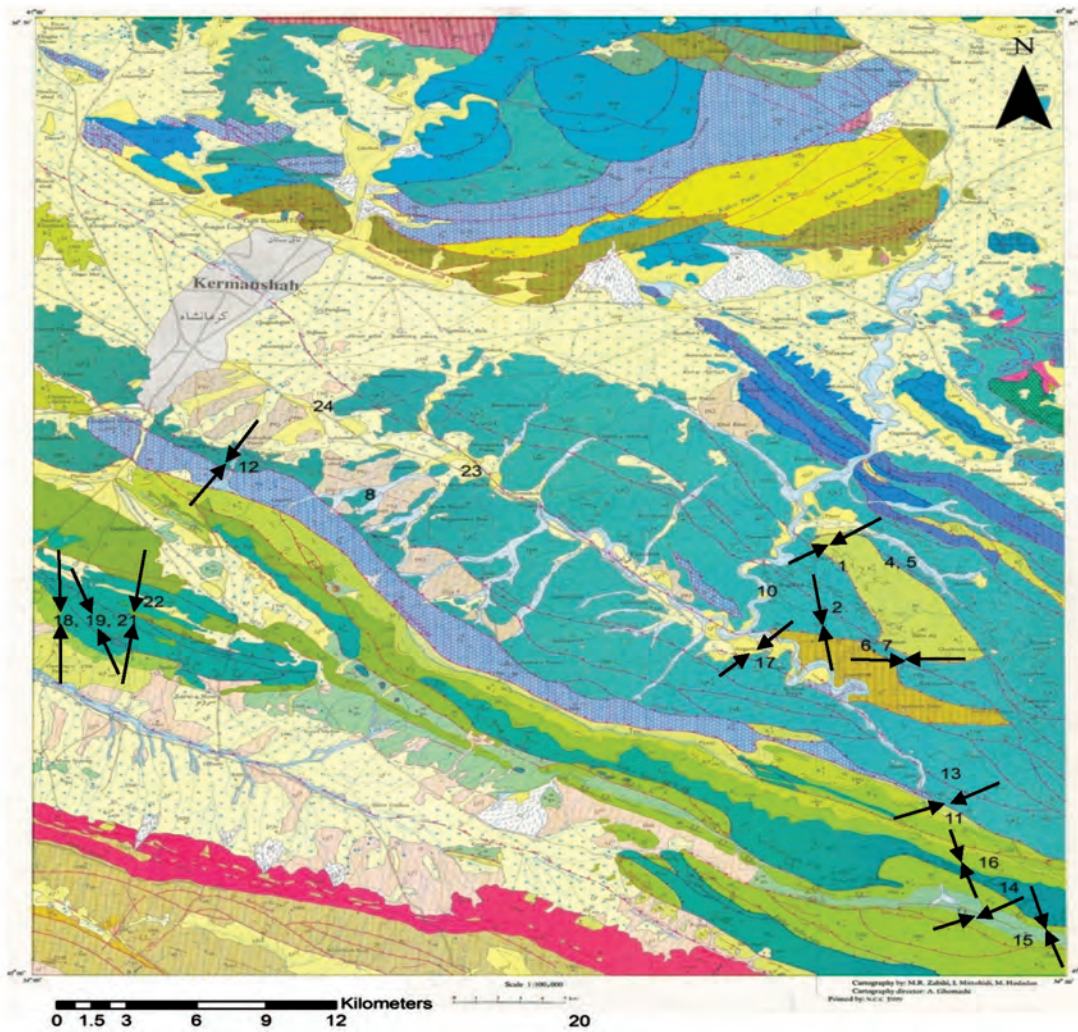
ب- زاگرس-بخش بیشتر گستره مورد پژوهش که در جنوب گسل مروارید-صحنه جای دارند ویژگی‌های رسوبی و ساختاری بخش شمال غربی زاگرس را دارند که شامل دو زیر‌پهنه زاگرس مرتفع و زاگرس چین خورده است. مرز بین این دو زیر‌پهنه از لحاظ رئولوژیکی چندان آشکار نیست و به نظر می‌رسد که گذر از زاگرس مرتفع به زاگرس چین خورده تدریجی است ولی الگوی ساختاری این دو زیر‌پهنه تفاوت‌های آشکار دارد. الگوی

پهنه زمین درز زاگرس یکی از نقاط کلیدی برخورد قاره-قاره ایران زمین بین صفحه عربی و ایران است. این پهنه از یک سو به پهنه زاگرس مرتفع و پهنه زاگرس چین خورده و از سوی دیگر به پهنه سنتندج-سیرجان و در بخش شمالی زمین درز چسبیده است. روند زمین درز موازی با روند ساختارهای شکل گرفته شمال غرب-جنوب شرقی می‌باشد. مطالعات متفاوتی بر روی تنفس دیرینه در مناطق مختلفی از کشور به وسیله پژوهشگران مختلف صورت گرفته است. از جمله این پژوهش‌ها می‌توان به الیاسی (۱۳۸۰)؛ نواب پور و همکاران (۱۳۸۵)؛ سعادت و همکاران (۱۳۸۷)؛ شهیدی و همکاران (۱۳۹۰)؛ موسوی و همکاران (۱۳۸۹) اشاره کرد. در پهنه برخورد (گستره پژوهش) سنگ‌ها و نهشته‌های موجود بر پایه ویژگی‌های رئولوژیکی شان رفتارهای متفاوتی در برابر فرایندهای همگرایی نشان داده‌اند. هدف از این پژوهش، بررسی الگوهای ساختاری در واحدهای سنگ چینهای و نیز موقعیت و تغییرات جهت تنفس در بازه‌های زمانی متفاوت بوده است. جهت‌های تنفس فشارشی به دست آمده از داده‌های برداشت شده از ویژگی‌های هندسی و کینماتیکی گسل‌ها می‌باشد.

## جایگاه و ویژگی‌های زمین ساختی و زمین‌شناسی گستره مورد پژوهش

از نظر زمین ساختی گستره مورد پژوهش گستره برخورد صفحه‌های قاره‌ای ایران و عربی و بسته شدن حوضه تنفس جوان است. ساختار زمین‌شناسی ناحیه کرمانشاه از برگه‌های نازک رانده شده‌ای به صورت ساختمان‌های دوپلکس و سفره‌های رانده پدیدار شده‌اند. گسل‌های راندگی بیشتر از نوع<sup>۳</sup> Listric Contractional حرکت آن‌ها از شمال-شمال شرقی به سمت جنوب-جنوب غربی است (گزارش نقشه ۱: هرسین). پنجره‌های تکتونیکی متعددی از رادیولاریت‌ها و افیولیت‌ها در کوه‌های بیستون-پرآو، از لا به لای سازندهای کربناتی بیستون نمایان شده‌اند. جهت بزرگترین محور تنفس بیشتر شمال-شمال شرقی، جنوب-جنوب غربی است. حرکت بلوك‌های

1. Listric Contractional  
2. Conjugate  
3. Blind fault

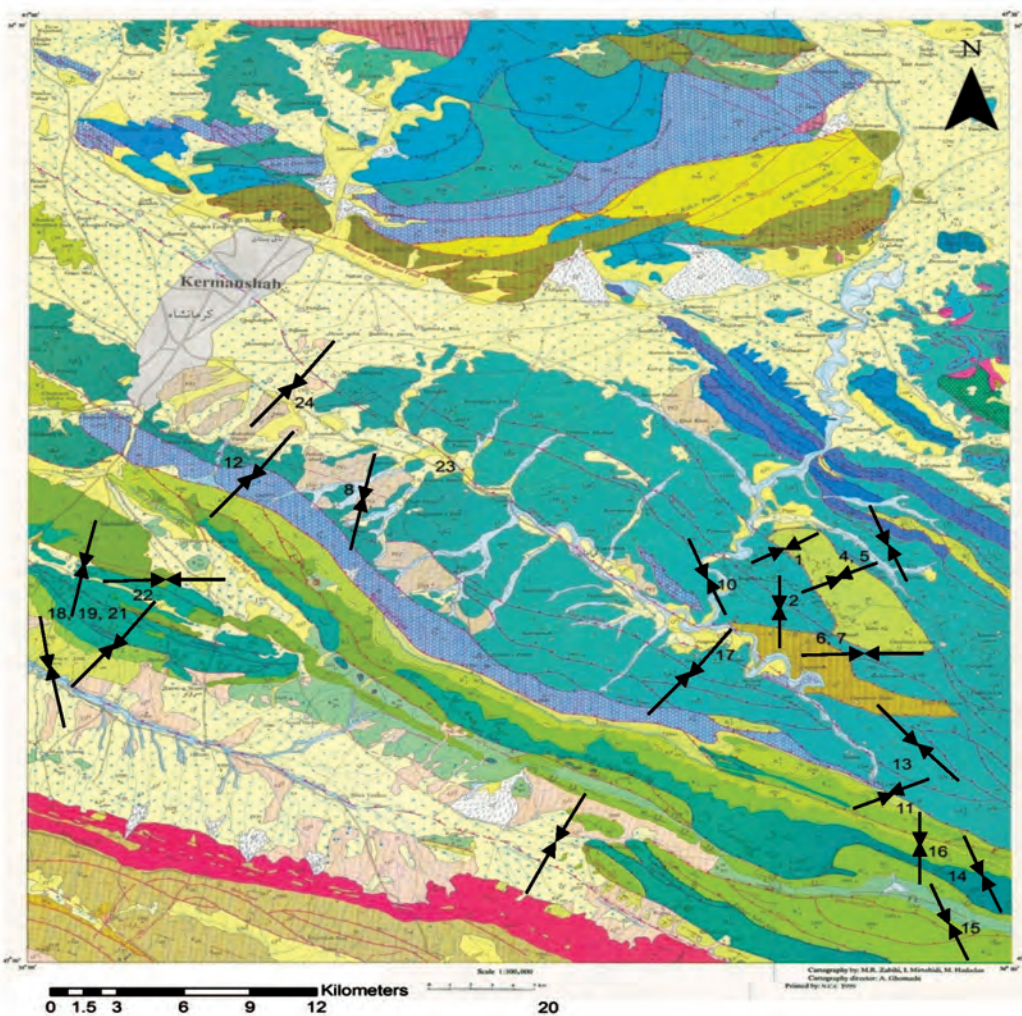


شکل ۱. (الف) نقشه زمین‌شناسی ۱:۱۰۰,۰۰۰: ۱: منطقه کرمانشاه (کریمی باوندپور، ۱۹۹۹) به همراه جهت تنش چین‌های برداشت شده در هر ایستگاه

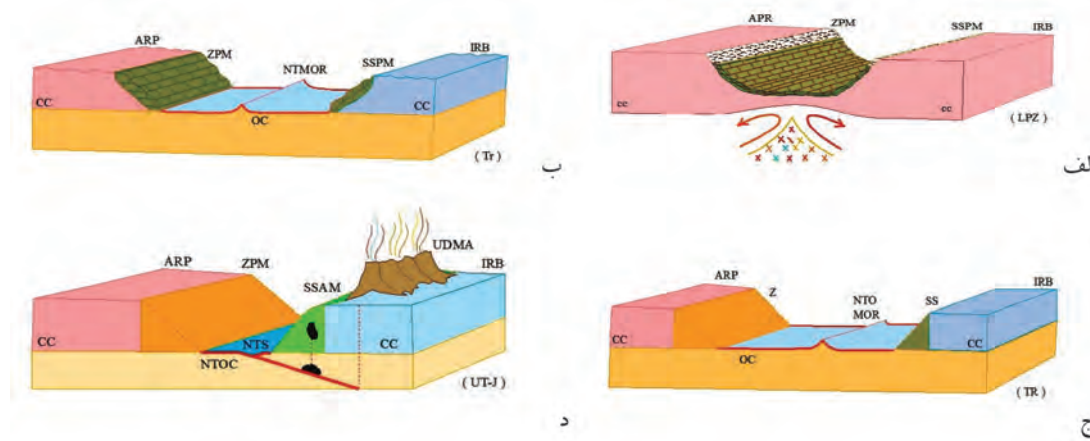
### ویرگی‌های سنگ چینهای گستره مورد پژوهش

در پهنه زاگرس قدیمی‌ترین واحد رخمنون یافته در منطقه را سنگ‌های کرتاسه پایینی تشکیل داده است، بخش پایین این واحد، شامل دولومیت و سنگ آهک‌های دولومیتی برشی شده است. سنگ‌های کرتاسه پسین شامل سنگ آهک‌ها و مارن می‌باشند که سنگ آهک‌های سازند کرمانشاه همراه با سازند امیران به سن ماستریشین بر روی سنگ‌های کرتاسه پایینی به صورت هم ساز جای می‌گیرند.

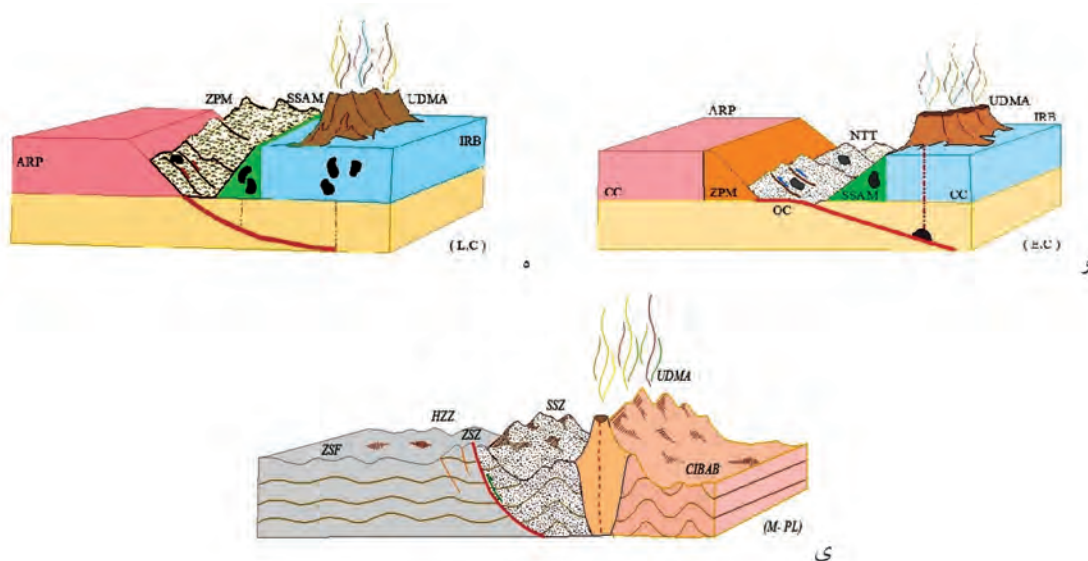
ساختاری این بخش استان کرمانشاه نتیجه عملکرد گسل‌های راندگی است که با جابه‌جایی‌های قابل توجه رخمنون‌های سنگی و ستبر شدن پوسته همراه است. جابه‌جایی ناشی از تنش فشارشی راندگی‌ها به صورت خردش‌گی در سنگ‌ها نمود دارد. در زیر الگوی ژئودینامیکی بروخود دو صفحه ایران و عربی از زمان گسترش ریف درون قاره‌ای تا شکل‌گیری کنونی زاگرس در پایان میوسن-پلیوسن رسم شده است (شکل ۲) (رضابیک و همکاران، ۱۳۹۶).



شکل ۱. ب) نقشه زمین‌شناسی ۱:۱۰۰۰۰۰ منطقه کرمانشاه (سازمان زمین‌شناسی و اکتشافات معدنی کشور، علیرضا کریمی باوندپور، ۱۹۹۹) به همراه جهت تنش گسل‌های برداشت شده در هر ایستگاه



شکل ۲. (الف) گسترش ریف درون قاره و شکل‌گیری حوضه دریابی به همراه نازک شدن پوسته قاره‌ای، (ب) انباشت متتشکل از رخساره‌های تخریبی حاشیه‌ای تا سکویی قاره و رسوبات منطقه ژرف بستر دریا، (ج) تبدیل حوضه رسوبی از یک حوضه درون قاره به یک حوضه اقیانوسی باز، (د) فرو رانش پوسته اقیانوسی جوان به زیر لیتوسفر قاره‌ای بلوك ایران



ادامه شکل ۲. و) تاثیر فرایندهای زمین ساختی و مگماتیسم به صورت چین خودگی، گسلش و بالا آمدگی مواد دگر شکل شده، ه) بالا آمدن بستر حوضه هم زمان با واگرایی دو بلوك درگیر، ی) شکل گیری کنونی زاگرس در پایان میوسن-پلیوسن

سازند تله زنگ به سن اوسن پیشین بر روی سازند امیران وسیله ناپیوستگی فرسایشی به وسیله واحدهای سنگی گروه فارس (میشان و آغازاری) به سن میوسن پوشیده شده است (شکل ۳).

قرار گرفته است. رسوبات اوسن پسین از دولومیت‌های توده‌ای سازند شهبازان تشکیل شده است که مرز پایین آن با سازند آواری کشکان تدریجی و هم‌شیب است و در بالا به

Age Ma	Geological	SW Kermanshah Stratigraphic Units NE	Tectonic history
1.8	Pleistocene	Bakhtyari	Authemayou et al., 2006 → Initiation of the MRF
5.3	Pliocene	Agha Jari	Main folding of the ZSFB Homke et al., 2004
11.2	M i o c e n o c e n e	Gachsaran	Main folding & thrusting of the HZB Molinaro et al., 2005a
16.4	M e E	Asmari	→ Onset of folding Sherkati et al., 2005
23.8	O	Shahbazan	→ Onset of collision Agard et al., 2005
33.7	I	Kashkan	
54.8	C	Taleh Zang	
65	Palaeocene	Amiran	Neo-Tethyan closure
		Radiolarites	→ Ophiolite obduction Ricou et al., 1977
		Bisitoun	NE-Arabian passive margin
250	Mesozoic	Shelf & marine Carbonates & marls	→ Neo-Tethyan opening Berberian & King, 1981
540	Palaeozoic	Epicontinental detrital deposits	
	Precambrian	Arabian Basement	

شکل ۳. نمودار چینه‌شناسی منطقه مورد پژوهش (Beydoun et al., 1992; Motiei, 1993)

## ساختارها

### ویژگی‌های هندسی و کینماتیکی گسل‌های منطقه مورد پژوهش

در این پژوهش گسل‌های هم بوغ (مزدوج) با سازو کار امتداد لغزی، گسل‌های شیب لغز و گسل‌های دارای خش لغز که نوع و سوی حرکت در آن‌ها تعیین شده به کارگرفته شده است. این داده‌ها بیشتر روی واحدهای سنگ آهک‌ها و شیل‌های رادیولاریتی کرتاسه پسین برداشت شده است. در زیر به بررسی ویژگی‌های هندسی و کینماتیکی گسل‌های منطقه پرداخته شده است. در شکل ۴ سطوح گسل‌های راندگی و گسل‌های معکوس بزرگ زاویه به همراه نمودار گل سرخی و استریوگرام آنها دیده می‌شود که که این گسل‌ها عمود بر هم شکل گرفته‌اند. در شکل ۵ شدت دگرشکلی در لایه‌های شیلی-رادیولاریتی نشان داده شده است. بروی فرادیواره گسل راندگی، شیل‌ها به وسیله گسل‌های دوپلکس کوچکتر بریده و به سوی بالا جا به جا شده‌اند.

بر روی گروه فارس سازند بختیاری به صورت نامحساز جای می‌گیرند. در بخش کمریند خرد شده، واحدهای سنگی بخش پهنه زاگرس چین خورده به واحدهای جدا از هم تقسیم می‌شود. (۱) رادیولاریت‌های کرمانشاه، (۲) سنگ آهک‌های بیستون، (۳) توده‌های نفوذی آتشفسانی و توفها می‌باشد. قدیمی‌ترین واحد سنگی رخنمون یافته در این پهنه واحدهای سنگی تریاس است که در زیر پهنه رادیولاریتی کرمانشاه از رادیولاریت‌های قرمز تا سبز رنگ قرار دارند. در زیر پهنه بیستون کهن‌ترین نهشته‌ها از سنگ آهک، رادیولاریت‌های ستر لایه، رادیولاریت‌های دارای چینه‌بندی نامنظم همراه مارن و سنگ آهک‌ها و خردۀای سیلیسی تریاس تشکیل شده‌اند. در پهنه سندنج سیرجان از نظر زمین ساختی بیشتر از ساختمان‌های دوپلکس مرکب بزرگ مقیاس و سیستم‌های ایمپریکیت کوچک و بزرگ زاویه با شیب به سمت شمال خاوری تشکیل شده است.



شکل ۴. سطوح گسل‌های راندگی و معکوس بزرگ زاویه عمود بر هم به همراه نمودار گل سرخی و استریوگرام آن (دید به سمت جنوب)



شکل ۵. شدت دگرشکلی در لایه‌های شیلی-رادیولاریتی به همراه نمودار گل سرخی و استریوگرام آن (دید به سمت جنوب باخترا)

در شکل ۶ صفحه یک گسل معکوس خالص در آهک‌های بیستون با خط خش‌های موازی با امتداد صفحه گسل نشان داده شده است.

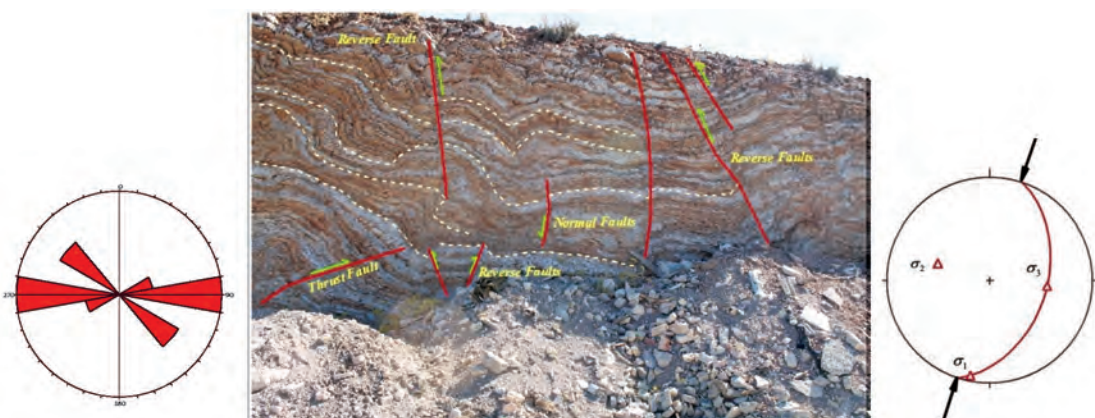


شکل ۶. صفحه گسل معکوس خالص در آهک‌های بیستون با خط خش‌های موازی با امتداد صفحه گسل به همراه نمودار گل سرخی و استریوگرام آن (دید به سمت شمال)

در این پهنه برشی الگوی‌های فراوانی از گسل‌های راندگی، چین‌های پیچیده، چین‌های جعبه‌ای، جناغی، خوابیده، تغییر الگوی یک چین به چین دیگر، در پهنه گسل‌های راندگی، پس راندگی و نرمال مورد بررسی قرار گرفته است (شکل‌های ۸، ۹، ۱۰، ۱۱ و ۱۲). بخشی از پهنه مورد پژوهش منطبق بر مرز بین زاگرس مرتفع و سندج-سیرجان بود. یک سری ساختار دریک پهنه گسلیده، برشی و به شدت به هم ریخته وجود دارد که رخساره سنگ‌های این پهنه شیل و سنگ آهک و نیز رادیولاریت به شدت بریده شده است. بنابراین به دلیل جای گرفتن آن‌ها در پهنه برخورد تمامی چین‌ها ساخت اولیه خود را از دست داده‌اند.

### ویژگی‌های هندسی و کینماتیکی چین‌های منطقه مورد پژوهش

در برخی ایستگاه‌های شکل‌ی-شکل‌گیری کنونی زاگرس در پایان میوسن-پلیوسن مورد پژوهش پهنه‌های دیده می‌شود که الگوی چین‌های پردامنه و باز در یک ردیف رسوی شامل سنگ آهک‌های متوسط لایه و شیل‌های سرخ رنگ در آن شکل گرفته‌اند. این ردیف رسوی به وسیله گسل‌های معکوس بزرگ زاویه بریده و جایه‌جا شده است. در این پهنه به روشنی افزایش شدت دگرشکلی (چین خوردنگی) به سوی جنوب شرق (سمت چپ) به چشم می‌خورد (شکل ۷).



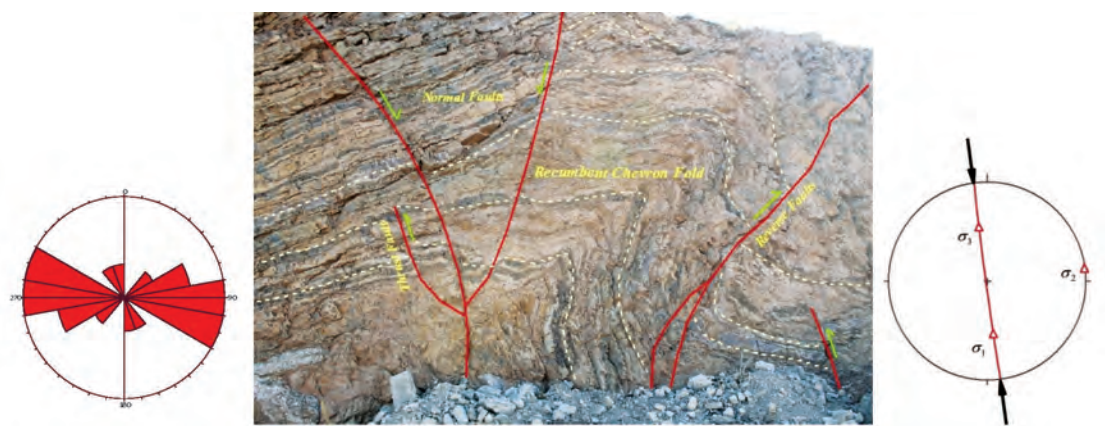
شکل ۷. الگوی چین‌های پردامنه و باز در یک ردیف رسوی (سنگ آهک و شیل‌های سرخ) به همراه نمودار گل سرخی و استریوگرام آن (دید به سمت جنوب باخته)



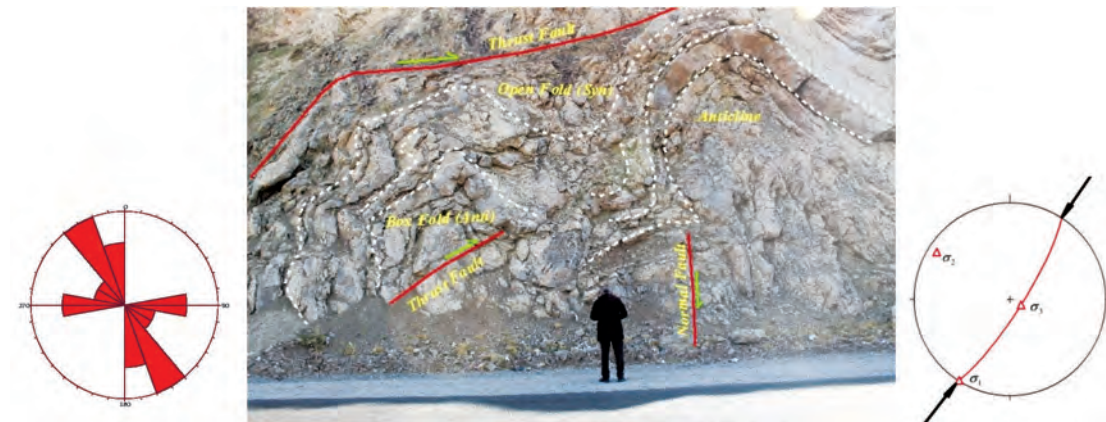
شکل ۸. شدت چین خوردگی در سنگ آهک‌های رادیولاریتی و به هم ریختگی الگودراثر تداوم کوتاه شدگی (دید به سمت شمال باخترا)



شکل ۹. الگوهای پیچیده از چین خوردگی در سنگ آهک‌های رادیولاریتی شامل یک تاقدیس به نسبت متقارن، یک ناوديس خوابیده در بال خاوری تاقدیس و یک ناوديس خوابیده بر روی ناوديس اول به همراه نمودار گل سرخی و استریوگرام آن (دید به سمت شمال)



شکل ۱۰. الگوی یک چین جنافی خوابیده که هر دو یال آن به وسیله گسل نرمال (در یال بالایی) و گسل معکوس (در یال پایینی) بریده شده است (دیدبه سمت جنوب باخترا)



شکل ۱۱. شکل‌گیری چین‌های بسیار فشرده و کنارهم در داخل سنگ آهک‌های ستر لایه کرتاسه پسین (دید به سمت جنوب)

دهنه دو رویداد جداگانه باشند باید از هم متمایز ساخت. با تعیین کردن نسبت تنش اطلاعاتی در مورد نوع میدان تنش مشخص می‌گردد، به طوری که در حالت کششی ( $\sigma_1 > \sigma_2 > \sigma_3$ ) شرایط از کشش شعاعی ( $O < R < 0.25$ )، کشش عمودی ( $R < 0.25$ ) تراکنشی ( $0.25 < R < 1$ ) و تراکنشی ( $0.75 < R < 1$ ) متغیر می‌باشد (Matenco & Schmid<sup>6</sup>, 1999). در میدان تنش راستالغاز که<sup>5</sup> عمودی است نسبت تنش از شرایط راستالغاز محض ( $0.25 < R < 0.75$ ), تراکنشی ( $0.75 < R < 1$ ) تا تراکنش ( $0 < R < 0.25$ ) تغییر می‌کند. در حالت<sup>3</sup> عمودی ترافشارش ( $0 < R < 0.25$ ) تغییر می‌کند. در حالت<sup>2</sup> فشارش محض نسبت تنش از ترافشارش ( $0 < R < 0.25$ ) تا فشارش شعاعی ( $0.25 < R < 0.75$ ) تا فشارش شعاعی ( $0.75 < R < 1$ ) متغیر می‌باشد (Matenco & Schmid, 1999). بنابراین در چنین رژیم تنش می‌توان ترکیبی از گسل‌ها نظیر امتدادلغز، راندگی و مورب لغز داشته باشیم. نتایج وارون‌سازی داده‌ها، زمانی موردنیزیرش است که  $80^\circ$  در صد انحراف زاویه‌ای بین S و  $\pm$  کمتر از  $20^\circ$  درجه باشد. داده‌های ایده‌آل شامل گسل‌هایی هستند که دارای شبیه به دو سوبوده و امتداد متفاوت داشته باشند (مثل گسل‌های هم یوغ و مزدوچ). در جدول‌های (۱)، (۲)، (۳) و (۴) با استفاده از این روش وارون‌سازی باکمک نرم‌افزار<sup>6</sup> Tectonics FP و<sup>7</sup> Dips در همه ایستگاه‌های مورد بررسی برای گسل‌ها و چین خورده‌ها، بصورت جداگانه، مقادیر تنش و (R) به دست آمده است.<sup>۸</sup>

### برآورد جهت تنش دیرین بر پایه ویژگی‌های کینماتیکی گسل‌ها و چین‌ها

روش تعیین تنش دیرین با استفاده از روش وارون‌سازی (Multiple Inverse Method)

روش وارون‌سازی چند مرتبه‌ای روشی برای تفکیک مراحل تنش است. در این روش مقادیر مطلق تنش‌های اصلی به دست نمی‌آید بلکه وضعیت تنش (R) یا همان اختلاف مقادیر تنش اصلی، بیانگر وضعیت تنش سه بعدی در یک نقطه از جسم است. در این روش فرض می‌شود که خط خش (S) در جهت تنش برشی حداکثر (تنش مماسی) که از تصویر تنش اعمالی روی سطح گسل به دست می‌آید (روی هریک از سطوح گسلی که از قبل موجود بوده‌اند، رخ می‌دهد. نتیجه وارون‌سازی، تنسور تنش تفریقی با بهترین سازگاری نسبت به مجموعه گسل‌هایی است که اندازه‌گیری شده‌اند و این کار با به حداقل رساندن انحراف زاویه‌ای بین بردار لغزش پیش‌بینی شده ( $\tau$ ) و بردار مشاهده شده (S) عملی می‌شود (Carey<sup>1</sup>, 1979; Angelier<sup>2</sup>, 1984; Mercier<sup>3</sup> et al., 1991). در این روش همچنین فرض می‌شود که جایگایی بلوک‌های گسلی نسبت به هم مستقل بوده و حاصل این تحلیل جهت محورهای تنش اساسی تنسور تفریقی و همچنین پارامتر شکل تنش (R) است.

پارامتر شکل تنش طبق رابطه زیر محاسبه می‌شود:

$$R = (\sigma_2 - \sigma_1) / (\sigma_2 - \sigma_3)$$

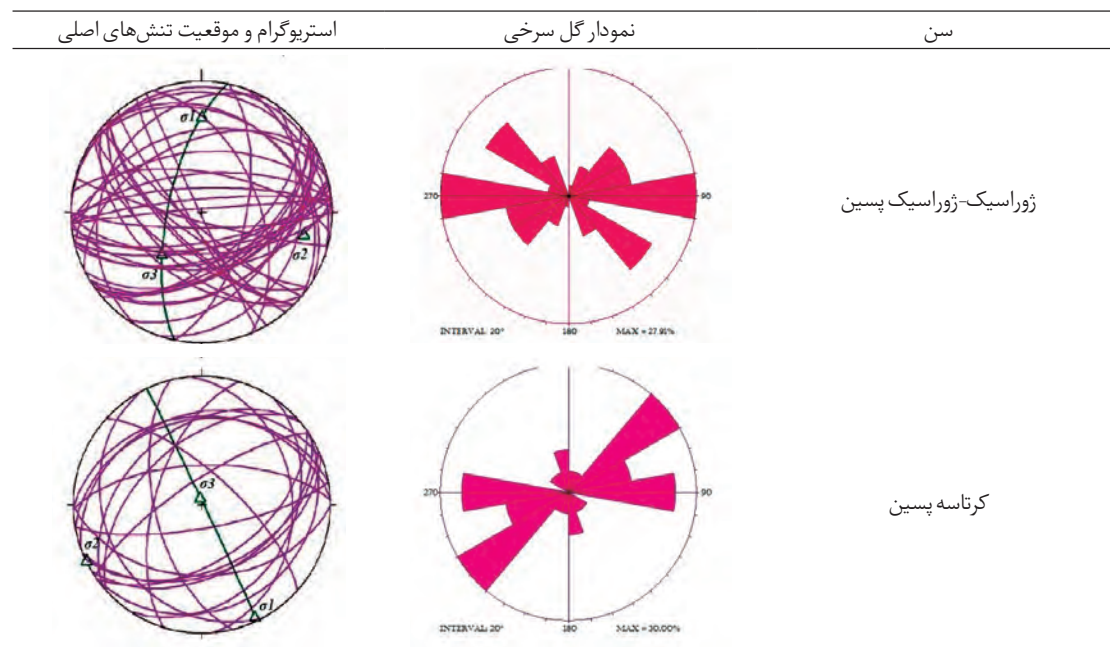
در رابطه بالا  $\sigma_1$ ,  $\sigma_2$  و  $\sigma_3$  به ترتیب محورهای تنش حداکثر، متوسط و حداقل است. در یک مجموعه صفحات گسلی اندازه‌گیری شده داده‌ها را که ممکن است نشان

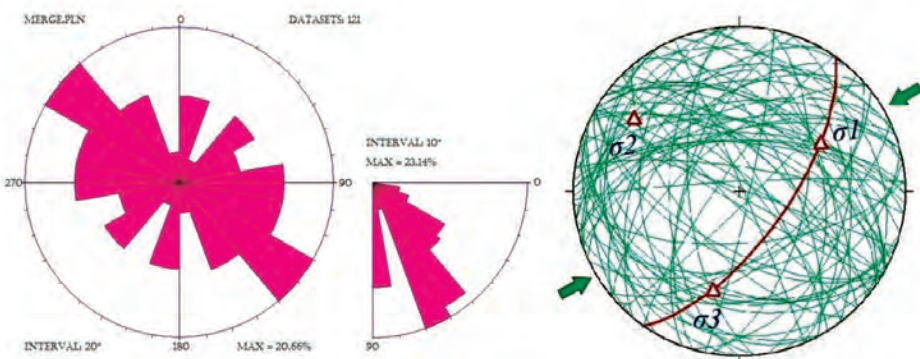
- 
1. Carey
  2. Angelier
  3. Mercier
  4. Matenco
  5. Schmid
  6. Tectonics FP
  7. Dips

جدول ۱. تحلیل داده‌های لغزش گسل و جهت یابی تنش در میدان تنش در منطقه مورد مطالعه

ردیف	موقعیت جغرافیایی ایستگاه	سنگ‌شناسی	سن	R	$\sigma_1$		$\sigma_2$		$\sigma_3$	
					Azimuth	Plunge	Azimuth	Plunge	Azimuth	Plunge
۲	$N=34^{\circ}17'59''$ $E = 47^{\circ}24'59.7''$	چرت، رادیولاریت و سنگ آهک	ژوراسیک پسین	۱	۰۱۵	۲۰	۲۸۶	۰۰	۱۹۴	۶۹
۳	$N = 34^{\circ}17'58.6''$ $E=4724593$	رادیولاریت، سنگ آهک	ژوراسیک پسین- کرتاسه پیشین	۱	۱۲۰	۱۴	۰۴۰	۰۲	۳۰۸	۷۸
۴	$N=34^{\circ}18'52.3''$ $E=4725'065''$	شیل و سنگ آهک رادیولاریتی	ژوراسیک پسین- کرتاسه پیشین	۱	۰۹۰	۱۷	...	۰۱	۲۶۸	۷۳
۵	$N=34^{\circ}18'11.4''$ $E=4725'189''$	شیل و سنگ آهک رادیولاریتی	ژوراسیک پسین- کرتاسه پیشین	۱	۳۱۰	۰۴	۲۲۰	۰۱	۱۳۸	۸۶
۱۰	$N=34^{\circ}17'52.7''$ $E=4722'192''$	گل سنگ، سنگ آهک و لایه‌های رادیولاریتی	ژوراسیک پسین- ماستریشتین	۱	۲۱۵	۴۲	۰۴۰	۴۷	۳۰۷	۰۴
۱۸	$N=34^{\circ}16'108''$ $E=47^{\circ}03'0.5''$	سنگ آهک‌های توده‌ای و نازک لایه	کرتاسه پیشین	۰/۹۱	۰۰۸	۴۰	۲۷۶	۰۰	۱۸۳	۴۹
۱۹	$N=34^{\circ}16'10''$ $E=48^{\circ}03'02''$	سنگ آهک‌های توده‌ای و نازک لایه	کرتاسه پیشین	۰/۴۲	۰۰۸	۱۴	۱۱۰	۱۰	۲۰۵	۷۵
۲۰	$N=34^{\circ}16'19.8''$ $E=47^{\circ}03'6.4''$	سنگ آهک و شیل‌های رادیولاریتی	ژوراسیک پسین- کرتاسه پیشین	۰/۸۵	۱۲۶	۷۶	۰۹۷	۰۱	۰۱۰	۱۱
۲۴	$N=34^{\circ}23'16.4''$ $E=47^{\circ}09'13.1''$	سنگ آهک و شیل‌های رادیولاریتی	ژوراسیک پسین- کرتاسه پیشین	۰/۶۷	۰۸۸	۲۹	۱۷۳	۰	۲۳۹	۷۰

جدول ۲. موقعیت تنش‌های اصلی و نمودار گل سرخی گسل‌های برداشت شده در دو زمان ژوراسیک و کرتاسه پسین



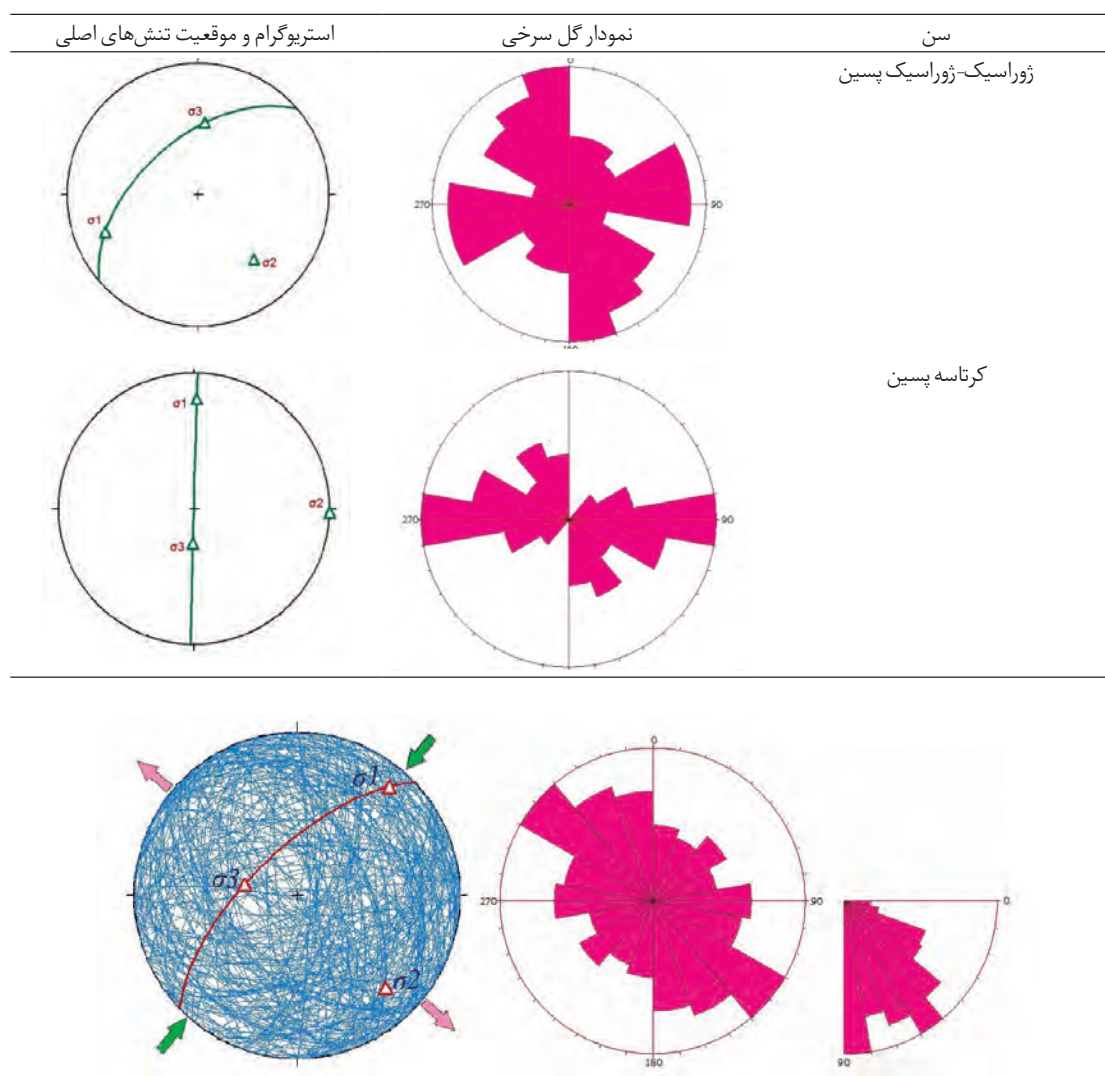


شکل ۱۲. استریوگرام و نمودار گل سرخی گسل‌های منطقه و جهت‌گیری بیشینه تنش اصلی

جدول ۳. تحلیل چین خوردگی‌ها و جهت‌بیانی تنش در میدان تنش در منطقه مورد مطالعه

ردیف	ایستگاه	عرض جغرافیایی	طول جغرافیایی	سنگ‌شناسی	سن	تعداد	$\sigma_1$		$\sigma_2$		$\sigma_3$		R
							Trend	Plung	Trend	Plung	Trend	Plung	
۱	$N=34^{\circ}18'11.5''$	$E=47^{\circ}24'53.4''$	سنگ آهک زواراسیک پسین	۴	.۲۱	۱۶	۱۶۳	.۶	۳۰۰	۷۰	.۰۶		
۲	$N=34^{\circ}17'59.8''$	$E=47^{\circ}24'59.7''$	زواراسیک چرت، رادیولاریت و سنگ آهک پسین	۲۶	.۰۴۹	۲۱	۱۶۲	.۴۹	۳۰۰	۸۲	.۰۳۱		
۳	$N=34^{\circ}17'58.6''$	$E=47^{\circ}24'59.3''$	رادیولاریت، سنگ آهک	۲۵	۲۵۸	۲۴	۱۳۶	.۵۰	.۰۰۳	۳۰	.۰/۸۳		
۶	$N=34^{\circ}16'10.2''$	$E=47^{\circ}24'27.2''$	زواراسیک چرت، رادیولاریت و سنگ آهک پسین	۶	۲۸۳	۱۶	۱۹۰	.۰۸	.۰۷۴	۷۲	.۰/۹۴		
۷	$N=34^{\circ}16'07.4''$	$N=47^{\circ}24'23.0''$	زواراسیک چرت، رادیولاریت و سنگ آهک پسین	۶۰	.۰۷۵	۲۱	۳۴۴	.۰۶	۲۴۰	۸۶	.۰/۳۳		
۱۲	$N=34^{\circ}21'44.5''$	$E=47^{\circ}06'28.5''$	زواراسیک سنگ آهک و شیل‌های رادیولاریتی پسین- کواترنری	۵۳	۲۳۹	۱۵	۱۴۰	.۰۵	۲۶۱	۷۰	.۰/۴۴		
۱۳	$N=34^{\circ}11'15.3''$	$E=47^{\circ}27'21.7''$	کرتاسه سنگ آهک پسین	۱۴	۲۳۹	۱۱	۱۰۸	.۴۹	.۰۴۰	۶۶	.۰/۲۶		
۱۴	$N=34^{\circ}08'12.7''$	$E=47^{\circ}28'56.9''$	زواراسیک گل سنگ، سنگ آهک و لایه‌های رادیولاریتی پسین- ماستریشتن	۱۵	.۰۳۶	۲۶	۱۵۸	.۴۴	۱۴۴	۷۰	.۰۶		
۱۶	$N=34^{\circ}09'42.3''$	$E=47^{\circ}28'27.7''$	زواراسیک گل سنگ، سنگ آهک و لایه‌های رادیولاریتی پسین- ماستریشتن	۴	۱۸۰	۱۶	.۰۷۳	۳۵	۲۹۲	.۵۷	.۰/۵۵		
۱۷	$N=34^{\circ}28'67''$	$E=47^{\circ}4.0'28''$	کرتاسه سنگ آهک و شیل‌های رادیولاریتی پسین	۹۲	.۰۸۸	۱۶	.۰۳۲	۲۶	۳۴۲	.۴۹	.۰/۱۴		
۱۸	$N=34^{\circ}16'1'08''$	$E=47^{\circ}03'0.5''$	کرتاسه سنگ آهک‌های توده‌ای و نازک لایه پسین	۲	۱۷۵	۴۰	۲۷۲	.۰۸	.۰۱۱	.۴۹	.۰/۴۹		
۱۹	$N=34^{\circ}16'10''$	$E=48^{\circ}03'02''$	کرتاسه سنگ آهک‌های توده‌ای و نازک لایه پسین	۴	۱۷۱	.۰۶	.۰۴۹	۲۱	.۰۳۰	۸۲	.۰/۵		
۲۰	$N=34^{\circ}16'19.8''$	$E=47^{\circ}03'6.4''$	کرتاسه سنگ آهک و شیل‌های رادیولاریتی پسین	۱۴	۱۷۰	۴۰	.۰۷۶	.۰۶	۳۴۰	.۵۳	.۰/۴۱		
۲۱	$N=34^{\circ}16'34.5''$	$E=47^{\circ}03'18.4''$	کرتاسه سنگ آهک‌های توده‌ای و نازک لایه پسین	۸	.۰۳۰	۱۱	.۰۷۰	۱۱	۲۲۰	۷۸	.۰/۹		
۲۲	$N=34^{\circ}16'6.9''$	$E=47^{\circ}04'09''$	کرتاسه سنگ آهک‌های توده‌ای و نازک لایه پسین	۱۱	.۰۳۸	.۰۶	.۰۳۰۵	.۳۵	۱۳۳	.۵۳	.۰/۴۹		

جدول ۴. موقعیت تنش‌های اصلی و نمودار گل سرخی چین‌های برداشت شده در دو زمان ژوراسیک و کرتاسه پسین



شکل ۱۳. استریوگرام و رزدیاگرام چین‌های منطقه وجهت‌گیری بیشینه تنش اصلی

## نتیجه‌گیری

لغزش گسلی و با کمک روش وارون‌سازی دو وجهی وضعیت تنش‌های اصلی  $\sigma_1$ ,  $\sigma_2$ , و  $\sigma_3$  به ترتیب عبارتند از: ۴۳/۰۵۹ و ۲۴/۳۰۴ و ۳۸/۱۹۴ و مقادیر تنش‌های اصلی به دست آمده با استفاده از چین خوردگی‌ها به ترتیب عبارتند از: ۳۲/۰۲۹ و ۱۲/۱۲۷ و ۵۶/۲۳۴. برپایه بررسی‌های انجام شده در منطقه مورد پژوهش و اندازه‌گیری‌های انجام شده بر روی سنگ‌های به سن کرتاسه و پس از آن تاکنون (نواب پور و همکاران، ۲۰۰۷ و ۲۰۰۸) جهت تنش اصلی حداکثر، بدون تغییر نه چندان زیادی، روبه شمال خاوری بوده است. برآورد جهت تنش هم در چین‌ها و هم در گسل‌ها یکسان بوده است. در

در این پژوهش، تنش دیرین در منطقه کرمانشاه مورد تحلیل و بررسی قرار گرفته است. گسل‌های منطقه مورد مطالعه بیشتر دارای روند NW-SE با سازو کار معکوس (فشارش) هستند. با کمک گسل‌ها و سطح محوری چین‌ها وضعیت تنش‌های اصلی در ۲۴ ایستگاه با هم مقایسه شده است. در شکل (۱۲) استریوگرام و رزدیاگرام گسل‌های منطقه و جهت‌گیری بیشینه تنش اصلی و در شکل (۱۳) استریوگرام و نمودار گل سرخی چین‌های منطقه و جهت‌گیری بیشینه تنش اصلی نشان داده شده است. براساس مطالعه داده‌های

- نظری، ح.، شهیدی، ع.، ۱۳۹۰، زمین ساخت البرز: پژوهشکده علوم زمین، سازمان زمین‌شناسی و اکتشافات معدنی کشور، ۹۷.
- نواب پور، پ.، حیدرزاده، ق.، مافی، آ.، شیخ الاسلامی، م.، حقی پور، ن.، ۱۳۸۵ پیش درآمدی بر آرایش تنش‌های دیرینه در گستره کپه داغ پس از تربیس، فصل نامه علوم زمین، ۵۹.
- Angelier, J., 1988, From orientation to magnitudes in paleostress determinations using fault slip data. *Journal Structural Geology.*, 1/2, 37-50.
- Angelier, J., and Melcher, P. 1977. Surun method graphique de recherché des contraintes principes également utilisable en tectonique et en seismologie: la methods des diedtes droites: *Bulletin Society Geology*, 7, 1309-1318.
- Berberian, M., 1995. Master “blind” thrust faults hidden under the Zagros folds: active basement tectonics and surface morphotectonics. *Tectonophysics* 241, 193-224.
- Matenco, L. and Schmid, S., 1999-Exhumation of the Danubian nappes system (South Carpathians) during the Early Tertiary: inference from Motiei, H., 1993-Stratigraphy of Zagros, Geological Survey of Iran. 536.
- Navabpour, P., Angelier, J., Barrier, E. (2008) Stress state reconstruction of oblique collision and evolution of deformation partitioning in W-Zagros(Iran-Kermanshah), *Geophysical Journal International*, 175. 2, 755-782
- Navabpour, P., Angelier, J., Barrier, E. (2007) Cenozoic post-collisional brittle tectonic history and stress reorientation in the High Zagros Belt (Iran, Fars Province), *Tectonophysics*, 432, 1-4, 101-131.
- نتیجه جهت کوتاه شدگی ثابت بوده است بنابراین گسل‌های منتبه به کوتاه شدگی همگی یک جهت تنش را نشان می‌دهند. ساختارهای شکل گرفته در منطقه مورد پژوهش در دو محیط رئولوژیکی متفاوت تشکیل شده‌اند. منطقه بیستون چون در پیشانی راندگی است بنابراین چین‌های شکل گرفته در آن دارای یال‌های با شبیه متفاوت هستند. به عبارتی یکی از یال‌های این چین‌ها دارای شبیه بسیار زیاد و یال دیگر آن دارای شبیه به نسبت افقی است. از سوی دیگر چین‌های شکل گرفته در نهشته‌های شیلی به دلیل شکل پذیری بالا و همچنین استمرار فشارش ثابت و پیوسته، در هسته چین‌ها الگوی تاقدیس‌ها و ناویدیس‌ها نسبت به چین اصلی تغییر کرده و الگوی جناغی و بسته پیدا کرده‌اند.\*

## منابع

- الیاسی، م.، ۱۳۸۰-ارزیابی تنفسورهای تنش دیرین و نوع دگربرختی بر پایه تحلیل خش لغزهای گسلی در دامنه جنوبی البرز مرکزی، رساله دکتری، دانشکده علوم دانشگاه تربیت مدرس.
- رضابیک، س.، سعیدی، ع.، آرین، م.، سربی، ع.، ۱۳۹۶، بررسی تنش بر پایه مطالعه شکستگی‌های موجود در پهنه برخوردي زاگرس منطقه کرمانشاه، فصل نامه علوم زمین، ۱۱۱، ۲۸۸-۲۸۱.
- سعادت، م.، سعیدی، ع.، ۱۳۸۷، تحلیل تنش دیرینه در خاور و جنوب خاوری تهران(سرخه حصار- خجیر)، فصل نامه علوم زمین، ۶۷.
- شهیدی، ع.، و نظری، ح.، ۱۳۷۶-گزارش پشت نقشه ۱:۱۰۰۰۰ هرسین، سازمان زمین‌شناسی کشور.
- کریمی باوند پور، ع.، ۱۳۷۸-نقشه ۱:۱۰۰۰۰ کرمانشاه، سازمان زمین‌شناسی کشور.
- موسوی، س.م.، علوی، س.ا. و خطیب، م.م، ۱۳۸۹، تفکیک فازهای تنش دیرین به روش برگشتی از صفحه‌های گسلی در منطقه جنوب بیرون، فصلنامه زمین‌شناسی ایران، سال چهارم، شماره سیزدهم، صفحات ۳۷-۳۸.

\* جدول مربوط به اطلاعات این مقاله را می‌توان از پژوهشگرهای مقاله در صورت نیاز دریافت نمود.